

Elargissement Doppler au vol des sections efficaces nucléaires : la méthode multipole

sous la direction de A. ZOIA et la supervision de FX. HUGOT

Thomas FREIMAN

CEA/DEN SERMA

MaNu 30/11/2017

- 1 Contexte
- 2 Représentation multipole : résonances non-interférentes
- 3 Représentation multipole : formalisme complet

I. Contexte - Équation du transport neutronique

Équation du transport neutronique stationnaire :

$$\begin{aligned} & (\boldsymbol{\Omega} \cdot \boldsymbol{\nabla} + \Sigma_t(\mathbf{r}, E)) \phi(\mathbf{r}, \boldsymbol{\Omega}, E) = \\ & \int_0^\infty dE' \int_S d\boldsymbol{\Omega}' \Sigma_s(\mathbf{r}, E') f(\boldsymbol{\Omega}' \rightarrow \boldsymbol{\Omega}, E' \rightarrow E) \phi(\mathbf{r}, \boldsymbol{\Omega}', E') \\ & + \frac{\chi(E)}{4\pi} \int_0^\infty dE' \int_S d\boldsymbol{\Omega}' \nu(E') \Sigma_f(\mathbf{r}, E') \phi(\mathbf{r}, \boldsymbol{\Omega}', E') + Q(\mathbf{r}, \boldsymbol{\Omega}, E) \end{aligned}$$

I. Contexte - Équation du transport neutronique

Équation du transport neutronique stationnaire :

$$\begin{aligned} & (\boldsymbol{\Omega} \cdot \boldsymbol{\nabla} + \Sigma_t(\mathbf{r}, E)) \phi(\mathbf{r}, \boldsymbol{\Omega}, E) = \\ & \int_0^\infty dE' \int_S d\boldsymbol{\Omega}' \Sigma_s(\mathbf{r}, E') f(\boldsymbol{\Omega}' \rightarrow \boldsymbol{\Omega}, E' \rightarrow E) \phi(\mathbf{r}, \boldsymbol{\Omega}', E') \\ & + \frac{\chi(E)}{4\pi} \int_0^\infty dE' \int_S d\boldsymbol{\Omega}' \nu(E') \Sigma_f(\mathbf{r}, E') \phi(\mathbf{r}, \boldsymbol{\Omega}', E') + Q(\mathbf{r}, \boldsymbol{\Omega}, E) \end{aligned}$$

Pour une réaction x donnée,

$$\Sigma_x(\mathbf{r}, E) = \sum_k N_k(\mathbf{r}) \sigma_x^k(E),$$

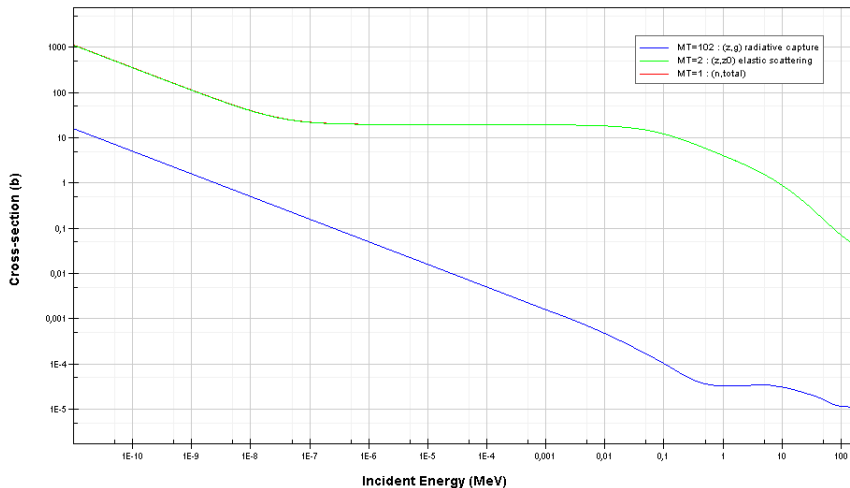
E l'énergie du neutron incident

N_k concentration volumique du nucléide indicé k

σ_x^k la section efficace microscopique du nucléide k pour la réaction x

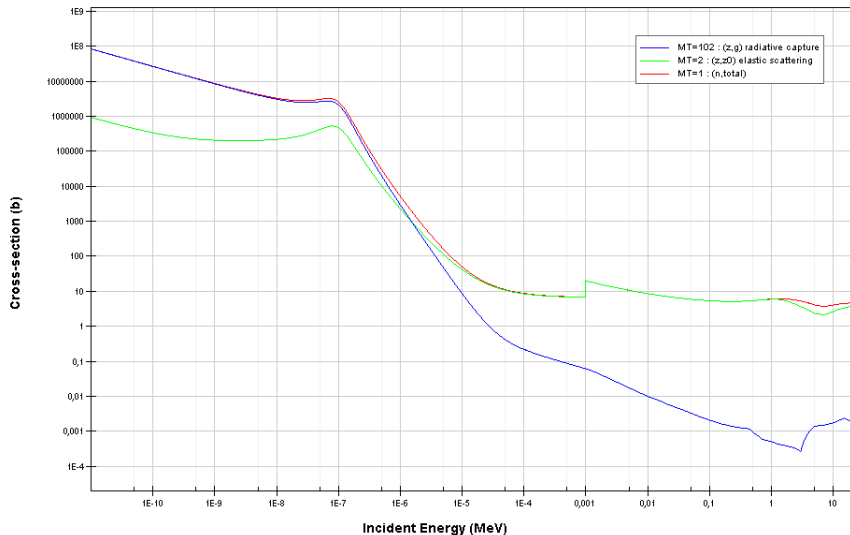
I. Contexte - Sections efficaces nucléaires

Incident neutron data / JEFF-3.1.1 / H1 // Cross section



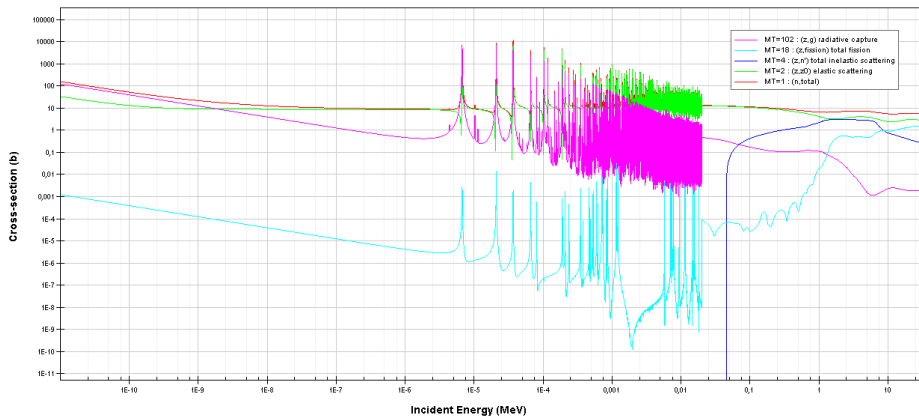
I. Contexte - Sections efficaces nucléaires

Incident neutron data / JEFF-3.1.1 / Xe135 // Cross section



I. Contexte - Sections efficaces nucléaires

Incident neutron data / JEFF-3.1.1 / U238 // Cross section



Pour une réaction x donnée ayant lieu à \mathbf{r} ,

$$\Sigma_x(\mathbf{r}, E) = \sum_k N_k(\mathbf{r}) \sigma_x^k(E)$$

En réalité, dépendance en température des sections efficaces,

$$\sigma_x^k(E, T) = \int_0^{+\infty} \sigma_x^k(E', 0\text{K}) \cdot S(E, E', T) dE'$$

$$S(E', E, T) \propto \sqrt{E'} \left(\exp\left(\frac{(\sqrt{E'} - \sqrt{E})^2}{kT}\right) + \exp\left(\frac{(\sqrt{E'} + \sqrt{E})^2}{kT}\right) \right)$$

est appelé Solbrig Kernel

I. Contexte - Sections efficaces nucléaires

ODG calcul couplage neutronique - thermo-hydraulique :

300 isotopes

× 10^4 points en énergie

× 100 températures

× 4 bytes/float

= 1.2 Go de mémoire vive juste pour les sections partielles principales.

I. Contexte - Sections efficaces nucléaires

ODG calcul couplage neutronique - thermo-hydraulique :

300 isotopes

× 10^4 points en énergie

× 100 températures

× 4 bytes/float

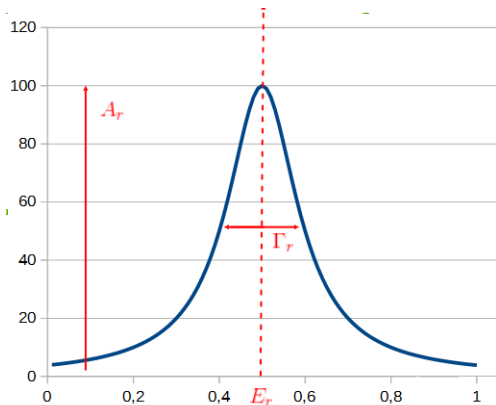
= 1.2 Go de mémoire vive juste pour les sections partielles principales.

La mémoire vive est un facteur critique dans les simulations Monte-Carlo sur des architectures de calcul parallèle.

I. Contexte - Méthode multipole

Une approximation usuelle des sections efficaces consiste à représenter une section comme somme de Lorentzienne pour chaque résonance,

$$\sigma_x(E, 0K) \propto \frac{1}{\sqrt{E}} \sum_r \frac{A_r(\Gamma_r/2)^2}{(E - E_r)^2 + (\Gamma_r/2)^2}$$



II. Représentation multipole : résonances non-interférentes

- Formules

L'approximation usuelle des sections efficaces présentée avant donne :

$$\sigma_x(E, 0K) \propto \frac{1}{\sqrt{E}} \sum_r \frac{A_r (\Gamma_r/2)^2}{(E - E_r)^2 + (\Gamma_r/2)^2}$$

On pose $u = \sqrt{E}$.

II. Représentation multipole : résonances non-interférentes

- Formules

L'approximation usuelle des sections efficaces présentée avant donne :

$$\sigma_x(E, 0K) \propto \frac{1}{\sqrt{E}} \sum_r \frac{A_r(\Gamma_r/2)^2}{(E - E_r)^2 + (\Gamma_r/2)^2}$$

On pose $u = \sqrt{E}$.

Formule moins approximée utilisée dans les expérimentations : :

$$\sigma_x(u, 0K) \propto \frac{1}{u} \Re \left[\sum_r \frac{n_r(u)}{u^2 - u_r^2 + \frac{p_r(u)}{q_r(u)}} \right]$$

avec n_r , p_r et q_r des polynômes en u (de faible degré)

II. Représentation multipole : résonances non-interférentes

- Formules

$$\sigma_x(u, 0K) \propto \frac{1}{u} \Re \left[\sum_r \frac{n_r(u)}{u^2 - u_r^2 + \frac{p_r(u)}{q_r(u)}} \right]$$

II. Représentation multipole : résonances non-interférentes

- Formules

$$\sigma_x(u, 0K) \propto \frac{1}{u} \Re \left[\sum_r \frac{n_r(u)}{u^2 - u_r^2 + \frac{p_r(u)}{q_r(u)}} \right]$$

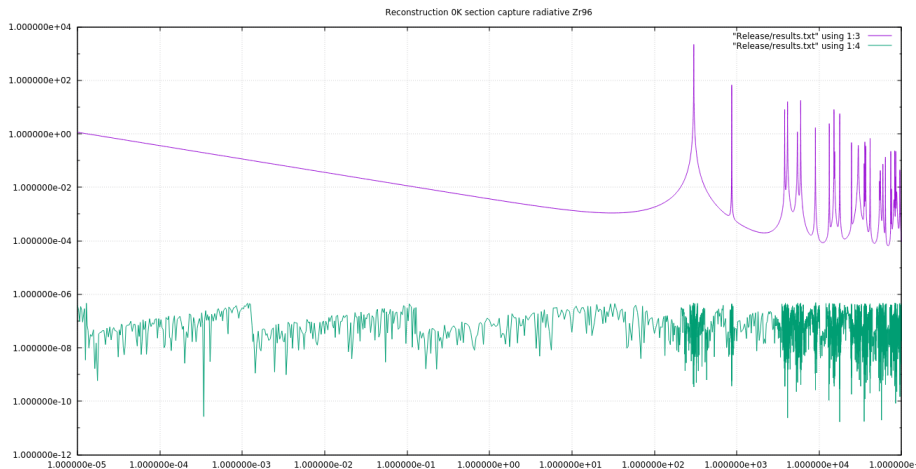
devient,

$$\sigma_x(u, 0) \propto \frac{1}{u} \Re \left[\sum_r \frac{n_r(u)q_r(u)}{q_r(u)(u^2 - u_r^2) + p_r(u)} \right]$$

→ Attention, p_r et q_r ne sont pas nécessairement premiers entre eux.
Malgré tout, décomposition en éléments simples assez directe.

II. Représentation multipole : résonances non-interférentes

- Résultat



III. Représentation multipole : formalisme complet

- Cas simple d'un matériau non fissile

Sans interférences,

$$\sigma_x(u, 0K) = \frac{1}{u} \Re \left[\sum_k \frac{c_k}{u - x_k} \right]$$

Avec interférences mais pas de fission,

$$\sigma_x(u, 0K) = \frac{1}{u} \Re \left[1 - \frac{1 + \sum_k \frac{a_k}{u - x_k}}{1 + \sum_k \frac{b_k}{u - x_k}} \right]$$

III. Représentation multipole : formalisme complet

- Cas simple d'un matériau non fissile

$$\sigma_x(u, 0K) = \frac{1}{u} \Re \left[1 - \frac{1 + \sum_k \frac{a_k}{u-x_k}}{1 + \sum_k \frac{b_k}{u-x_k}} \right]$$

On pose $Q = \prod_k (u - x_k)$ et $Q_k = \prod_{l \neq k} (u - x_l)$

III. Représentation multipole : formalisme complet

- Cas simple d'un matériau non fissile

$$\sigma_x(u, 0K) = \frac{1}{u} \Re \left[1 - \frac{1 + \sum_k \frac{a_k}{u-x_k}}{1 + \sum_k \frac{b_k}{u-x_k}} \right]$$

On pose $Q = \prod_k (u - x_k)$ et $Q_k = \prod_{l \neq k} (u - x_l)$

$$1 - \frac{1 + \sum_k \frac{a_k}{u-x_k}}{1 + \sum_k \frac{b_k}{u-x_k}} = 1 - \frac{Q + \sum_k a_k Q_k}{Q + \sum_k b_k Q_k} = \frac{\sum_k (a_k - b_k) Q_k}{Q + \sum_k b_k Q_k}$$

III. Représentation multipole : formalisme complet

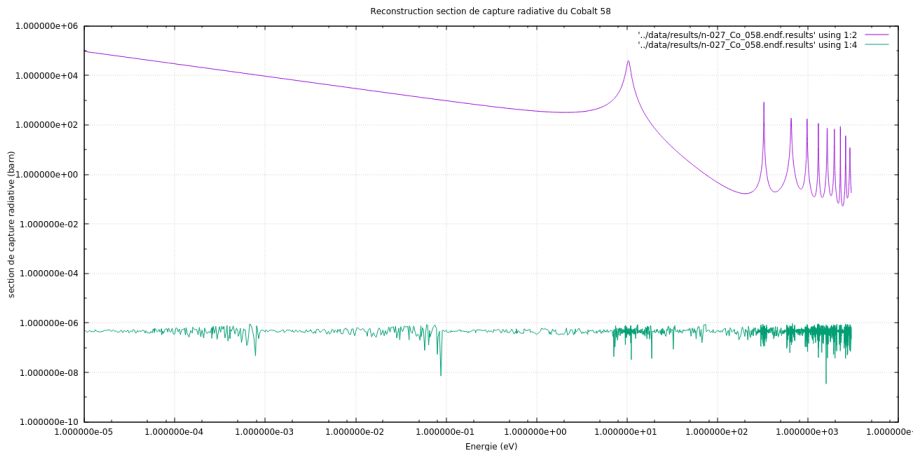
- Cas simple d'un matériau non fissile

Trouvons les racines avec un algorithme de Newton-Raphson,

$$\begin{aligned} \frac{Q + \sum_k b_k Q_k}{(Q + \sum_k b_k Q_k)'} &= \frac{Q \left(1 + \sum_k \frac{b_k}{u-x_k}\right)}{Q' \left(1 + \sum_k \frac{b_k}{u-x_k}\right) - Q \sum_k \frac{b_k}{(u-x_k)^2}} \\ &= \frac{1}{\frac{Q'}{Q} - \sum_k \frac{b_k}{(u-x_k)^2} / \left(1 + \sum_k \frac{b_k}{u-x_k}\right)} \end{aligned}$$

Représentation multipole : formalisme complet

- Cas simple d'un matériau non fissile



III. Représentation multipole : formalisme complet

- Cas complexe d'un matériau fissile

Cas simple d'un matériau non fissile,

$$\sigma_x(u, 0K) = \frac{1}{u} \Re \left[1 - \frac{1 + \sum_k \frac{a_k}{u-x_k}}{1 + \sum_k \frac{b_k}{u-x_k}} \right]$$

Cas complexe d'un matériau fissile,

$$\underline{\underline{\sigma}}(u, 0K) = \frac{1}{u} \Re \left[\underline{\underline{Id}} - (\underline{\underline{Id}} + \underline{\underline{M}}(u))^{-1} \right]$$

III. Représentation multipole : formalisme complet

- Cas complexe d'un matériau fissile

Cas complexe d'un matériau fissile,

$$\underline{\underline{\sigma}}(u, 0) = \frac{1}{u} \Re \left[\underline{\underline{Id}} - (\underline{\underline{Id}} + \underline{\underline{M}}(u))^{-1} \right]$$

$$M(u) = \begin{pmatrix} \sum_k \frac{a_k a_k}{u-x_k} & \sum_k \frac{a_k b_k}{u-x_k} & \sum_k \frac{a_k c_k}{u-x_k} \\ \sum_k \frac{b_k a_k}{u-x_k} & \sum_k \frac{b_k b_k}{u-x_k} & \sum_k \frac{b_k c_k}{u-x_k} \\ \sum_k \frac{c_k a_k}{u-x_k} & \sum_k \frac{c_k b_k}{u-x_k} & \sum_k \frac{c_k c_k}{u-x_k} \end{pmatrix}$$

III. Représentation multipole : formalisme complet

- Cas complexe d'un matériau fissile

...

III. Représentation multipole : formalisme complet

- Cas complexe d'un matériau fissile

...

$$\sigma_{11}(u, 0K) = \frac{1}{u} \Re \left[1 - \frac{\begin{vmatrix} 1 + \sum_k \frac{b_k b_k}{u-x_k} & \sum_k \frac{b_k c_k}{u-x_k} \\ \sum_k \frac{c_k b_k}{u-x_k} & 1 + \sum_k \frac{c_k c_k}{u-x_k} \end{vmatrix}}{\begin{vmatrix} 1 + \sum_k \frac{a_k a_k}{u-x_k} & \sum_k \frac{a_k b_k}{u-x_k} & \sum_k \frac{a_k c_k}{u-x_k} \\ \sum_k \frac{b_k a_k}{u-x_k} & 1 + \sum_k \frac{b_k b_k}{u-x_k} & \sum_k \frac{b_k c_k}{u-x_k} \\ \sum_k \frac{c_k a_k}{u-x_k} & \sum_k \frac{c_k b_k}{u-x_k} & 1 + \sum_k \frac{c_k c_k}{u-x_k} \end{vmatrix}} \right]$$

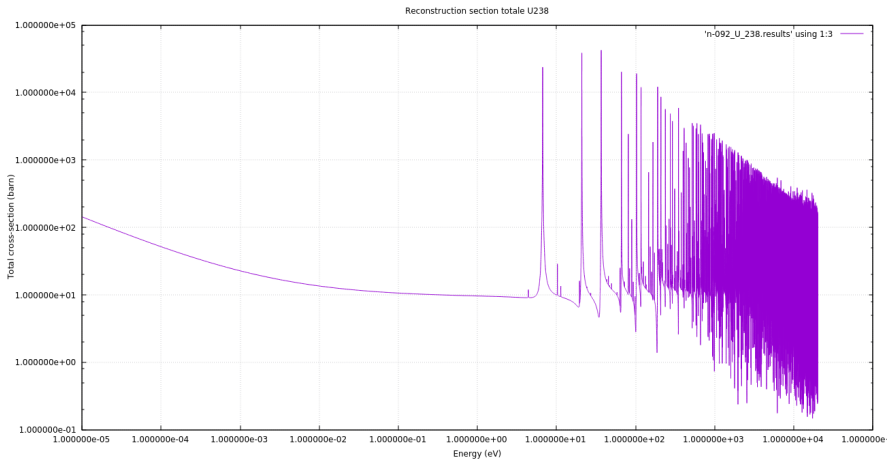
III. Représentation multipole : formalisme complet

- Cas complexe

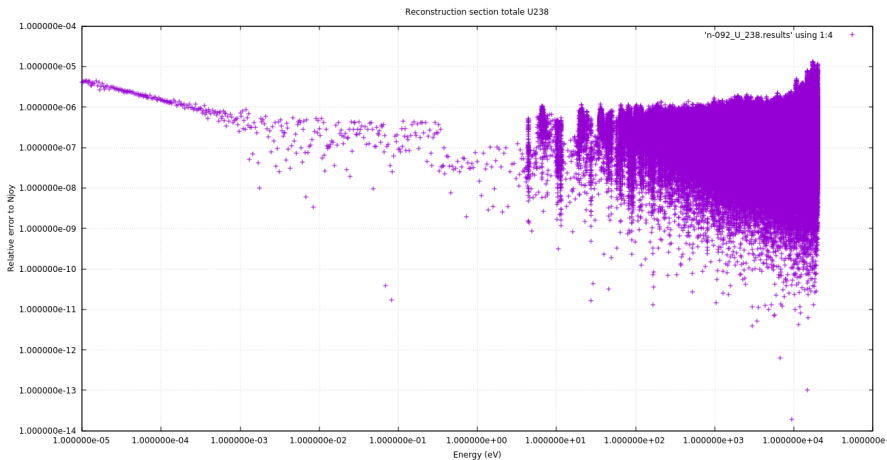
Nous avons montré qu'on peut se ramener au cas simple non fissile,

$$\sigma_x(u, 0K) = \frac{1}{u} \Re \left[1 - \frac{1 + \sum_k \frac{\alpha_k}{u-x_k}}{1 + \sum_k \frac{\beta_k}{u-x_k}} \right]$$

III. Représentation multipole : formalisme complet - Victoire !



III. Représentation multipole : formalisme complet - Victoire !



- L'élargissement Doppler au vol n'est pas si trivial : optimisation par la vectorisation et/ou le parallélisme à étudier en détail.

- L'élargissement Doppler au vol n'est pas si trivial : optimisation par la vectorisation et/ou le parallélisme à étudier en détail.
- Nous avons montré que la représentation multipole est possible dans le cas le plus complexe actuellement (formalisme avec résonances interférentes pour un matériau fissile) et peut s'étendre naturellement aux formalismes à venir.

- L'élargissement Doppler au vol n'est pas si trivial : optimisation par la vectorisation et/ou le parallélisme à étudier en détail.
- Nous avons montré que la représentation multipole est possible dans le cas le plus complexe actuellement (formalisme avec résonances interférentes pour un matériau fissile) et peut s'étendre naturellement aux formalismes à venir.
- Merci de votre attention !